

بررسی ژئوتکنیکی فعالیت ماقمایی پالتوزوییک زیرین در زون ارومیه- دختر (جنوب کاشان)

سید محسن طباطبایی منش^{۱*}، همایون صفائی^۱ و اکرم السادات میرلوحی^۱

^۱گروه زمین‌شناسی، دانشگاه اصفهان، اصفهان، ایران

تاریخ پذیرش: ۱۳۸۸/۰۵/۰۴ تاریخ دریافت: ۱۳۸۷/۰۸/۰۶

چکیده

در جنوب کاشان، سنگ‌های آتشفشاری پالتوزوییک زیرین (سیلورین) بخشی از ارتفاعات کوهستان قهرود را تشکیل داده‌اند. از نظر تقسیم‌بندی‌های زمین‌شناسی ساختمانی- رسوی ایران، این آتشفشاری‌ها در کمریند ماقمایی ارومیه- دختر بروزند دارند. این سنگ‌ها بازی تا نیمه بازی و بیشتر، بازالت هستند. بررسی‌های ژئوشیمیایی این سنگ‌ها حاکی از ماهیت قلیایی و محیط زمین‌ساختی کافت درون قاره‌ای در زمان تشکیل این سنگ‌ها است. گسل اصفهان با راستای شمالی- جنوبی زون سنتنج- سیرجان را قطع می‌کند. این گسل یکی از گسل‌های دیرین و پی‌سنگی است که دست کم از اوائل پالتوزوییک فعل بوده است. حضور منحصر به فرد بروزند‌های آتشفشاری سیلورین در این منطقه را می‌توان به فعالیت بخش شمالی این گسل نسبت داد که به دنبال حرکات کششی پس از فاز کوهزایی کالدونین یجاد شده است.

کلید واژه‌ها: ژئوتکنیک، ماقماییسم، سیلورین، ارومیه- دختر، کاشان.

E-mail: tabatabaimohsen@yahoo.com

۱- مقدمه

و از ذوب بخشی درجه پایین گوشته زیر سنگ کره قاره‌ای منشأ گرفته‌اند (ناجی و قاسمی، ۱۳۸۴). این جایگاه با جغرافیای دیرین پالتوزوییک زیرین ایران مرکزی مبنی بر وجود یک محیط کششی کافت درون‌قاره‌ای در این زمان کاملاً منطبق است. برای بررسی وسعت و گسترش سنگ‌های آتشفشاری‌ها و تکییک اولیه آنها برای نمونه برداری از منطقه و همچنین بررسی ساختاری و شناسایی گسل‌های منطقه داده‌های رقومی ماهواره‌ای TM ماهواره لندست ۵ مورد پردازش قرار گرفتند. پس از برداشت های صحرایی و تهیه مقاطع نازک، مطالعات سنگ‌نگاری با استفاده از میکروسکوپ پلاریزان مدل 2 BH-2 انجام شد. نمونه از سنگ‌های منطقه جهق که از نظر دگرسانی سالم تر بودند، برای انجام تجزیه کلی سنگ (Whole Rock) انتخاب شدند. این تجزیه‌ها به روش MS-ICP و در آزمایشگاه Amdel استرالیا انجام شد. اکسیدهای اصلی نمونه‌های منطقه ایانه به روش XRF و عناصر کمیاب ۴ نمونه به روش MS-ICP در آزمایشگاه Amdel استرالیا تعیین شده است (آیتی، ۱۳۸۳).

داده‌های حاصل از تجزیه سنگ‌های منطقه جهق در جدول ۱ و منطقه ایانه در جدول ۲ ارائه شده است.

۲- زمین‌شناسی عمومی

سنگ‌های آتشفشاری‌های سیلورین در تاقدیس جهق حدود ۱۲ کیلومتر طول و ۳ کیلومتر عرض دارند و روند کلی آن NW-SE است. سنگ‌های آتشفشاری، تشكیل دهنده هسته تاقدیس هستند که در یال‌های شمال خاور و جنوب باخترا آن، افق ماسه‌سنگی سازند نیور و سازند رسوی پادها (ماسه‌سنگ) به ترتیب تکرار می‌شوند. کهنه‌ترین واحد سنگی منطقه جهق، دولومیت‌های اردوویسین است که در هسته تاقدیس جهق رخمنون دارند.

و سعی این سنگ‌های آتشفشاری در جنوب ایانه بیشتر است و توسط یک سیستم گسلی با روند شمال خاور- جنوب باخترا حدودی پیوستگی خود را در سوی شمال باخترا- جنوب خاور از دست داده‌اند. با حرکت از شمال خاور به جنوب باخترا به ترتیب سازندهای معادل کهر، سلطانیه، لالون و میلا در سمت خاور سازند نیور و سازندهای پادها، بهرام، جمال، سرخ شیل و شتری در سمت باخترا آن به ترتیب تکرار می‌شوند (خلعت‌بری و علائی، ۱۳۷۷)، بدین ترتیب توالی چینه‌شناسی در این منطقه به خوبی حفظ شده است.

یکی از زون‌های مهم ساختمانی- رسوی ایران، کمریند ماقمایی ارومیه- دختر (سهند- بزمان) است. این زون به عقیده برخی از پژوهشگران، بخشی از ایران مرکزی است اما روندی همانند روند زاگرس دارد که در شمال خاور زون سنتنج- سیرجان واقع شده است (شکل ۱). این کمریند شامل سنگ‌های آذرین درونی و بیرونی است و از نظر سنی غالباً آن را به اوپسن نسبت می‌دهند. یکی از پدیده‌های جالب توجه، استقرار بخشی از سنگ‌های آتشفشاری منتب به سیلورین در این کمریند (خاور قهرود و جنوب ایانه) است (شکل ۲). حضور سنگ‌های آتشفشاری پالتوزوییک در زون ارومیه- دختر در جنوب کاشان منحصر به فرد است و با توجه به موقعیت جغرافیایی این رخمنون‌ها، مطالعه خاستگاه تکتونوماگمایی آنها اهمیت دارد. در این مطالعه افزون بر بررسی‌های سنگ‌شناسی و ژئوشیمیایی این فعالیت آتشفشاری، محیط ژئوتکنیکی و نحوه جایگیری نیز مورد بررسی قرار گرفته است.

ناحیه مورد مطالعه در تقسیم‌بندی‌های کشوری و استانی بخشی از شهرستان کاشان بوده و در ۱۴۰-۱۲۰ کیلومتری شمال اصفهان و حدود ۶۰-۴۰ کیلومتری جنوب خاور کاشان واقع شده است. مقطعه مورد نظر بین طول جغرافیایی ۲۶°۰۵'۱۰" تا ۴۵°۵۱'۰۵" خاوری و عرض جغرافیایی ۳۳°۰۴'۱۱" تا ۳۳°۰۲'۲۷" شمالی قرار گرفته است. این سنگ‌های آتشفشاری‌ها، بخشی از کوهستان صعب العبور قهرود هستند و در خاور روستای قهرود و جنوب دهستان تاریخی ایانه بروزند دارند (شکل ۳).

گسترش سنگ‌های آتشفشاری پالتوزوییک زیرین (سیلورین) در مناطق مختلفی از ایران گزارش شده است. از جمله این مناطق می‌توان به رخمنون‌های جنوب گرگان تا شمال شاهزاده با نام بازالت‌های سلطان میدان اشاره کرد که در مقایسه با سنگ‌های رسوی، ستبرای بیشتری دارند (Jenny, 1977a). در ناحیه سیرجان، سنگ‌های آتشفشاری‌ها از نوع اسپیلیتی است و در نواحی شیرگشت، ترود، جام، سه (کاشان) و خور (انار ک) نیز سنگ‌های سیلورین (سازند نیور) روانه‌های بازالتی دارند (آقاباتی، ۱۳۸۳). به تازگی، این سنگ‌ها در شمال باخترا طبس (درخشی، ۱۳۸۵) و در جنوب ایانه (آیتی، ۱۳۸۳) مطالعه شده که جایگیری این توده‌ها به فعالیت ماقمایی درون صفحه‌ای و محیط کششی در زمان پالتوزوییک زیرین نسبت داده شده است. همچنین مطالعات انجام شده در مورد بررسی خاستگاه این سنگ‌ها در ایران مرکزی حاکی از آن است که بیشتر سنگ‌های ماقمایی موردنظر، ماهیت قلیایی و تعداد کمی نیز ماهیت نیمه قلیایی دارند و در جایگاه زمین‌ساختی درون صفحه قاره‌ای قرار داشته

بازالت‌های مربوط به محیط‌های زمین‌ساختی مختلف دارای مقادیر متفاوتی از عناصر فرعی هستند، بنابراین، نمودار $\text{Y}^{*3}-\text{Zr}-\text{Ti}/100$ (Pearce & Cann, 1973) (پکی) از نمودارهایی است که با استفاده از عناصر فرعی، محیط‌های زمین‌ساختی مختلف را از یکدیگر جدا می‌کند. این تفاوت‌ها در مقدار عناصر فرعی، برای تشخیص محیط زمین‌ساختی سنگ‌های بازالتی که آکنون تغییرشکل یافته‌اند (دگرگون شده‌اند) و نیز بازالت‌های مربوط به کمپلکس‌های افیولیتی، سودمند هستند. عناصر Zr , Ti ، Y به احتمال، مناسب‌ترین عناصر برای این منظور هستند، زیرا این عناصر در هنگام دگرگونی درجه پایین و متاسوماتیسم، تحرك زیادی ندارند. در این نمودار، نمونه‌های مورد مطالعه در محدوده D (بازالت‌های درون قاره‌ای) قرار می‌گیرند (شکل ۸). در هر دو نمودار، عنصر Y و Zr به کار گرفته شده است. مقایسه نمونه‌های جهت و ابیانه در میزان این دو عنصر نشان می‌دهد که مقدار Y در هر دو، تقریباً یکسان است اما نمونه‌های ابیانه Zr به نسبت بیشتری دارند و همین امر باعث شده تا نمونه‌های مربوط به این دو منطقه، به طور کامل بر روی هم منطبق نشوند. بهر حال، محیط زمین‌ساختی این دو منطقه یکسان است و هر دو مربوط به محیط کافت درون قاره‌ای هستند. از روی نمودارهای عناصر خاکی کمیاب که نسبت به کندریت یا گوشه بهنجار شده‌اند، می‌توان تاحدودی سری‌های ماگمایی را مشخص کرد. همچنین از این نمودارها در حل مسایل تکتونوماگمایی سنگ‌های مختلف بویژه بازالت‌ها استفاده می‌شود. با توجه به روند نمونه‌های مورد مطالعه روی این نمودارها، می‌توان دریافت که عناصر خاکی کمیاب سبک نسبت به انواع سنگ‌تر در ماگمایی مولد سنگ‌های آتش‌شانی مورد نظر سازگارترند و همین امر باعث ایجاد شبیه منفی در نمودارهای عنکبوتی شده است (شکل ۹). بررسی نمونه‌های مناطق ابیانه و جهت نشان می‌دهد که روند تغییر عناصر یکسان است و این نمونه‌ها، یک غنی شدگی کم و آلودگی مذاب با پوسته قاره‌ای در هنگام بالا آمدن ماگما و گذر از پوسته قاره‌ای باشد. شباهت روندها می‌تواند بیانگر شرایط سنگ‌زایی (سنگ منشأ و درجه ذوب بخشی) بسیار نزدیک برای تشکیل سنگ‌های این دو منطقه باشد.

۵- زمین‌شناسی ساختمانی

در منطقه مورد مطالعه با وجود چین‌خوردگی‌های متعدد، ساختار کلی منطقه توسط گسل‌های اصلی کنترل شده است. پس از پردازش داده‌های رقومی TM ماهواره لندست ۵، گسل‌های اصلی منطقه شناسایی شدند (شکل ۱۰). گسل‌های شناسایی شده، راستهای متفاوتی دارند و بررسی آماری آنها در منطقه قهروند، چهار دسته گسل اصلی با راستهای خاوری- باختری، A₂120، شمالي- جنوبي- ۷۰ و A₂70 را نشان می‌دهد (شکل ۱۱). ایجاد این گسل‌های رامی توان در یک سامانه فشاری- برشی راست‌گرد در زون ارومیه- دختر به موازات کوه‌زایی زاگرس در نظر گرفت. همان‌گونه که در شکل ۱۰ مشاهده می‌شود، بخش شمالی گسل شمالي- جنوبي اصفهان، که پیش‌تر در زون سنتدج- سیرجان شناسایی شده تا حوالی روتای سه‌ادمه یافته است. گسل اصفهان را می‌توان یک گسل پی‌سنگی و کهن در نظر گرفت که دست کم از اوایل پالنوزوییک فعالیت داشته است (صفایی، ۱۳۸۴ و ۲۰۰۹). با عنایت به وجود تنها رخمنونهای آتش‌شانی سیلورین در زون ارومیه- دختر در جنوب کاشان و همچنین محیط ژئوتکتونیکی تشکیل آنها، می‌توان ایجاد یک کافت محلی در پی حرکات کنشی فاز کوه‌زایی کالدونین را مربوط به فعالیت گسل اصفهان در زون ارومیه- دختر در نظر گرفت.

۶- نتیجه‌گیری

سنگ‌های آتش‌شانی سیلورین در جنوب کاشان دارای کانی‌های الیون، پیروکسن

گسل‌های بسیاری در منطقه اثر کرده و آثار متعددی بر جا گذاشته‌اند. از جمله تأثیرات آنها در زمان‌های مختلف می‌توان به درز و شکستگی‌های موجود در توده‌های سنگی، تشکیل تراوتن‌ها، رگ‌ها و رگجهای آهن، دایک‌ها و جایگیری آپوفیزهای گرانیتی اشاره کرد. وضعیت ریخت‌شناسی کلی منطقه نیز در اثر عملکرد گسل‌ها بایجاد شده است.

۳- سنگ‌شناسی

سنگ‌های آتش‌شانی سیلورین در این منطقه بازی تا نیمه بازی و بیشتر از نوع بازالت هستند. بر اساس مطالعات سنگ نگاری، بافت این سنگ‌ها پورفیری، میکرولیتی پورفیری، تراکیتی و بادامکی است. الیون و پیروکسن از کانی‌های مافیک در این سنگ‌ها مستند که در اثر دگرسانی، الیون‌ها، ایدینگریتی و پیروکسن‌ها، کلریتی شده‌اند، طی این فرایند آهن به صورت کدر (Opaque) آزاد شده است. اسفن نیز در اثر تجزیه کانی‌های تیتان‌دار اولیه آزاد و به صورت پراکنده در زمینه یا درون حفرات یافت می‌شود. فلدسپار از جمله فراوان‌ترین کانی‌ها در این سنگ‌ها است که به صورت پورفیرهای پلازیوکلاز، سانیدین و میکرولیت‌های زمینه دیده می‌شوند. در اثر دگرسانی پلازیوکلازهای بازی و فرایند سوسوریتی شدن، ترکیب آنها آلبیتی و کانی اپیدوت تشکیل شده است. نتایج تجزیه مایکروروب نیز برای فلدسپارها ترکیب آلبیتی را ارائه می‌کند، به طوری که تغییرات درصد آلبیت بین ۹۲ تا ۹۵٪ است. حضور کلریت، اپیدوت، آلبیت و کلسیت می‌تواند بیانگر دگرگونی این سنگ‌ها در رخساره شیست سبز باشد (شکل ۴). سنگ‌های آتش‌شانی جنوب ایانه به دلیل دور بودن از دیگر توده‌های آذرین، دگرسانی کمتری را تحمل کرده‌اند.

۴- ژئوشیمی و تعیین محیط زمین‌ساختی

در بررسی‌های سنگ‌شناسی، شیمی سنگ و استفاده از نمودارهای مختلف در نامگذاری، طبقه‌بندی و تعیین محیط زمین‌ساختی و حتی منشأ ماگمای تشکیل دهنده سنگ، نقش بسزایی دارد. برخی از این نمودارها، بر اساس درصد اکسیدهای اصلی و برخی دیگر بر مبنای عناصر فرعی است.

با توجه به این که سنگ‌های آتش‌شانی جنوب ایانه پیش‌تر توسط آیتی (۱۳۸۳) مطالعه شده است، برای مقایسه و نتیجه‌گیری بهتر در همه نمودارهای ژئوشیمیایی، داده‌های مربوط به این منطقه نیز آورده شده است.

بر اساس نتایج تجزیه‌های شیمیایی، سنگ‌های مورد مطالعه در نمودار $\text{SiO}_2-\text{Na}_2\text{O}+\text{K}_2\text{O}$ (Cox et al., 1979) در محدوده بازالت تا آندزیت و تراکی آندزیت پیاده شده‌اند و ماهیت بازی تا نیمه بازی دهنده (شکل ۵).

از آنجا که سنگ‌های مورد مطالعه مربوط به پالنوزوییک هستند و از دگرسانی نیز مصنون نمانده‌اند، بنابراین استفاده از عناصر کم تحرك و نسبت‌های عناصری که در طی فرایند دگرسانی تغییر چندانی نمی‌کنند قابل اعتمادتر است. از جمله این نمودارها، نمودار $\text{Nb/Y}-\text{Zr/TiO}_2$ (Winchester & Floyd, 1977) به نمونه‌های مورد بررسی در محدوده بازالت قلایی تا حدودی مایل به بازالت نیمه‌قلایی قرار می‌گیرند (شکل ۶).

اندیشه تشخیص ماگماهای متعلق به جایگاه‌های زمین‌ساختی مختلف با استفاده از شیمی رابه‌احتمال می‌توان به Pearce & Cann (1971, 1973) نسبت داد. برای تعیین محیط زمین‌ساختی تشکیل سنگ‌های آتش‌شانی مورد مطالعه، از نمودارهای مختلفی استفاده شد که همگی حاکی از محیط زمین‌ساختی درون‌صفحه‌ای برای این سنگ‌ها هستند. در شکل ۷، نمودار ارائه شده Meschede (1986) به همراه موقعیت نمونه‌های مورد مطالعه نشان داده شده است. در این نمودار، چهار میدان اصلی بازالت درون‌صفحه‌ای به مردمان می‌شود که نشان‌دهنده بازالت‌های درون‌صفحه‌ای است.

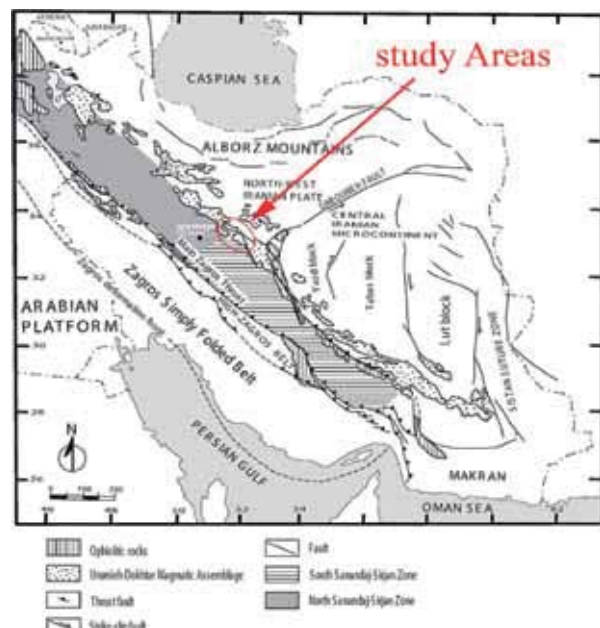
جدول ۱- نتایج تجزیه سنگ کل مربوط به سنگ‌های آتشفشاری جهق که درصد اکسیدهای عناصر اصلی و مقادیر عناصر فرعی و خاکی کمیاب (بر حسب ppm) را نشان می‌دهد.

| Sample | 2J-15 | 2J-20 | 3J-14 | 3J-16 | J-15 | J-17 |
|--------------------------------|---------|---------|---------|---------|---------|---------|
| SiO ₂ | 48.282 | 50.732 | 49.68 | 54.433 | 46.427 | 50.738 |
| TiO ₂ | 3.436 | 3.72 | 2.836 | 3.086 | 3.486 | 3.853 |
| Al ₂ O ₃ | 19.276 | 17.84 | 18.123 | 16.611 | 18.369 | 17.046 |
| Fe ₂ O ₃ | 2.662 | 2.361 | 3.039 | 2.578 | 2.868 | 2.94 |
| FeO | 9.762 | 7.419 | 11.144 | 8.102 | 10.515 | 9.241 |
| MnO | 0.13 | 0.179 | 0.172 | 0.376 | 0.207 | 0.139 |
| MgO | 4.808 | 4.062 | 5.156 | 4.095 | 5.471 | 4.941 |
| CaO | 5.093 | 6.912 | 3.26 | 4.645 | 2.868 | 3.596 |
| Na ₂ O | 4.798 | 4.745 | 4.731 | 3.909 | 5.27 | 4.879 |
| K ₂ O | 0.601 | 0.807 | 0.169 | 1.747 | 0.22 | 0.252 |
| P ₂ O ₅ | 0.369 | 0.422 | 0.433 | 0.419 | 0.667 | 0.628 |
| LOI | 2.018 | 1.765 | 2.67 | 1.061 | 4.97 | 2.966 |
| Total | 101.236 | 100.962 | 101.413 | 101.062 | 101.337 | 101.219 |
| Cr | 60 | 123 | 56 | 53 | 23 | 11 |
| Ni | 49 | 73 | 31 | 29 | 9 | 6 |
| Pb | 4.6 | 40.8 | 1.1 | 9.4 | 1.1 | 0 |
| Sr | 549 | 430 | 270 | 590 | 230 | 330 |
| Ba | 116 | 312 | 44.5 | 377 | 52.4 | 48.1 |
| Be | 0 | 0 | 1.4 | 0.5 | 1.2 | 0.2 |
| La | 26 | 26 | 25 | 30 | 39 | 36 |
| Sc | 24 | 30 | 26 | 26 | 22 | 23 |
| Li | 6.1 | 10.4 | 19.3 | 6.6 | 9 | 6.7 |
| V | 225 | 250 | 178 | 213 | 173 | 190 |
| S | 0 | 1350 | 0 | 80 | 0 | 0 |
| Zr | 101 | 98 | 76 | 127 | 102 | 172 |
| Ag | 0.07 | 0.1 | 0.05 | 0.16 | 0.09 | 0.24 |
| As | 1.7 | 9.7 | 1.8 | 5.5 | 4.8 | 4.6 |
| Co | 54 | 13.2 | 47.7 | 39 | 36.8 | 33.9 |
| Cu | 10.6 | 175 | 7.8 | 92 | 9.7 | 14.5 |
| Mo | 0.9 | 0.9 | 0.7 | 2.3 | 1.3 | 1.2 |
| Sb | 0.5 | 4.1 | 0.7 | 1.2 | 1.6 | 0.7 |
| Zn | 142 | 133 | 200 | 264 | 173 | 215 |
| Sn | 2 | 2.4 | 2.5 | 2.8 | 2.5 | 2.7 |
| W | 0.5 | 0.7 | 0.8 | 0.8 | 0.6 | 0.6 |
| Cs | 0.3 | 0.6 | 0.1 | 1.9 | 0 | 0 |
| Nb | 24.3 | 28.5 | 27.1 | 33.5 | 34.9 | 40.9 |
| U | 0.71 | 0.56 | 0.78 | 1.17 | 0.89 | 0.97 |
| Cd | 0 | 0.1 | 0 | 0 | 0 | 0 |
| Rb | 8.6 | 10.9 | 2.1 | 45.2 | 2 | 3.3 |
| Th | 2.6 | 1.8 | 2.23 | 3.29 | 2.65 | 3.05 |
| Y | 25.4 | 33.5 | 34.6 | 35.5 | 48.1 | 38.5 |
| Ce | 40.3 | 35.4 | 48.7 | 67.6 | 80.5 | 69.5 |
| Tl | 0 | 0 | 0 | 0.1 | 0 | 0 |
| Dy | 0.72 | 0.91 | 1.05 | 1.04 | 1.45 | 1.14 |
| Er | 0.32 | 0.39 | 0.45 | 0.47 | 0.58 | 0.5 |
| Eu | 0.35 | 0.3 | 0.65 | 0.47 | 0.84 | 0.55 |
| Gd | 1.09 | 1.37 | 1.58 | 1.54 | 2.33 | 1.71 |
| Ge | 0.9 | 0.5 | 2.4 | 1.3 | 1.4 | 1.3 |
| Hf | 0.6 | 0.5 | 0.5 | 0.8 | 0.6 | 0.9 |
| Ho | 0.16 | 0.2 | 0.23 | 0.23 | 0.31 | 0.25 |
| Lu | 0.03 | 0.04 | 0.04 | 0.05 | 0.05 | 0.05 |
| Nb | 19.6 | 23.9 | 23.8 | 29.5 | 31 | 35.7 |
| Nd | 4.66 | 5.15 | 6.3 | 6.77 | 8.54 | 7.37 |
| Pr | 0.91 | 0.99 | 1.18 | 1.32 | 1.63 | 1.4 |
| Sm | 0.95 | 1.16 | 1.4 | 1.37 | 1.92 | 1.53 |
| Tb | 0.16 | 0.2 | 0.23 | 0.22 | 0.33 | 0.25 |
| Tm | 0 | 0.06 | 0.07 | 0.07 | 0.09 | 0.07 |
| Yb | 0.21 | 0.24 | 0.26 | 0.31 | 0.34 | 0.29 |

و مگنتیت هستند که کانی‌های الیون و پیروکسن توسعه کانی‌های ثانویه همچون کلریت، اپیدوت و کلسیت جاشین شده‌اند. فلدسپارها نیز بیش از ۷۵ درصد کانی‌های تشکیل دهنده سنگ‌ها را به خود اختصاص داده‌اند و شامل پلاژیوکلاز و فلدسپار قلیایی هستند که هم به صورت درشت‌بلور و هم میکرولیت‌های زمینه حضور دارند. این سنگ‌ها بیشتر تحت تأثیر دگرسانی زیر دریایی قرار گرفته و در رخساره شیست سبز دگرسان شده‌اند. برای دوری از تأثیرات دگرسانی، در تقسیم‌بندی سنگ‌های آتشفشاری منطقه، از نمودار طراحی شده بر اساس عناصر کم تحرک استفاده شد که بر اساس آن، ترکیب نمونه‌ها، آلکالی بازالت است. بر اساس نمودارهای اوائی شده برای تعیین محیط زمین‌ساختی، سنگ‌های موردنظر مطالعه جزو بازالت‌های درون طبقه‌بندی می‌شوند. نمودارهای عنکبوتی عناصر خاکی کمیاب نیز ماهیت مگماهی قلیایی، درجه ذوب بخشی کم گوشه، آسودگی مذاب با پوسته قاره‌ای در هنگام بالآمدن مگما و گذر از پوسته قاره‌ای را محرز می‌سازند. بنابراین محیط تشکیل این سنگ‌ها را می‌توان به یک کافت درون‌قاره‌ای نسبت داد که مگماهی حاصل از آن نیز ترکیب قلیایی داشته است. با توجه به بررسی آماری گسل‌های منطقه که یک سامانه فشاری-برشی راست‌گرد به موازات کوه‌زایی زاگرس را پیشنهاد می‌کند و این که بخش شمالی گسل اصفهان تا روستای سه (زون سندنج-سیرجان) شناسایی شده و ادامه آن با عملکرد سامانه فشاری-برشی راست‌گرد یادشده از حوالی روستای آب‌سنجد تا حوالی روستای هنجن قابل پیگیری است (زون ارومیه-دختر راقع می‌کند)، حضور آتشفشاری‌های سیلورین که تشکیل آنها مرتبط با یک کافت محلی درون‌قاره‌ای است را می‌توان به فعالیت گسل اصفهان نسبت داد. به احتمال، این کافت مرتبط با حرکات کششی پس از فاز کوه‌زایی کالدونین و در پی عملکرد سامانه گسلی اصفهان با راستای شمالی-جنوبی در زمان پالئوزویک است.

سپاسگزاری

نویسنده‌گان از حمایت‌های تحصیلات تکمیلی و راهنمایی‌ها و یاری‌های آقایان دکتر ترابی، مهندس رهمنا و سرکار خانم آیتی که تجزیه‌های ژئوشیمیایی خود را در اختیار ما قرار دادند، کمال تشکر و قدردانی را دارند.



شکل ۱- موقعیت مناطق مورد بررسی در نقشه واحدهای زمین‌ساخت اصلی ایران (Ghasemi & Talbot, 2006)

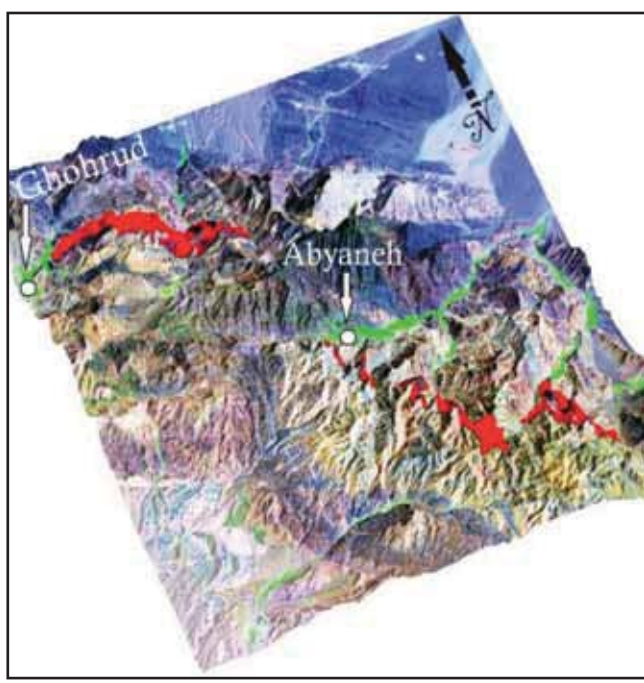
جدول-۲- نتایج تجزیه XRF مربوط به نمونه‌های منطقه ایانه بر حسب درصد وزنی اکسیدهای اصلی و ppm برای عناصر فرعی

| WT% | S-Ta-B | S-Ta-17 | S-Ta-2 | S-Ta-8 | S-Ta-13 | S-TA-10 | S-TA-14 | S-TA-16 | S-TA-18 | S-TA-25 | TA-F | F8 | F12 | G9 | G11 |
|-------|--------|---------|--------|--------|---------|---------|---------|---------|---------|---------|-------|-------|-------|-------|-------|
| Sio2 | 42.06 | 52.91 | 50.16 | 47.75 | 49.9 | 53.02 | 51.2 | 50.39 | 59.49 | 55.27 | 52.37 | 52.9 | 61.19 | 53.67 | 53.77 |
| Tio2 | 2.297 | 2.479 | 1.99 | 2.727 | 3.504 | 2.538 | 2.763 | 2.458 | 2.805 | 3.063 | 2.681 | 2.753 | 2.553 | 3.229 | 2.223 |
| Al2o3 | 14.99 | 17.64 | 12.93 | 17.66 | 17.7 | 17.37 | 15.82 | 16.27 | 16.81 | 14.89 | 17.11 | 17.01 | 13.8 | 15.14 | 15.01 |
| Fe2o3 | 15.13 | 10.98 | 12.65 | 15.03 | 15.25 | 11.19 | 12.23 | 12.05 | 11.62 | 11.89 | 13.68 | 12.72 | 8.82 | 10.66 | 13.76 |
| Mno | 0.056 | 0.158 | 0.14 | 0.097 | 0.153 | 0.079 | 0.121 | 0.202 | 0.04 | 0.123 | 0.08 | 0.021 | 0.01 | 0.263 | 0.223 |
| Mgo | 6.69 | 5.81 | 7.5 | 6.38 | 5.74 | 4.6 | 4.27 | 5.38 | 1.43 | 1.79 | 4.03 | 3.21 | 1.64 | 6.32 | 6.43 |
| Cao | 11.08 | 3.77 | 10.46 | 4.41 | 3.93 | 3.22 | 4.4 | 5.47 | 1.89 | 5.72 | 4.08 | 1.33 | 1.38 | 2.36 | 2.82 |
| Na2o | 1.499 | 2.549 | 1.135 | 1.147 | 3.518 | 2.48 | 3.71 | 2.74 | 3.08 | 2.85 | 3.53 | 3.4 | 4.59 | 2.95 | 2.81 |
| K2o | 1.48 | 1.3 | 1.59 | 3.71 | 1.22 | 2.64 | 0.94 | 0.9 | 2.32 | 1.41 | 1.86 | 1.04 | 0.19 | 0.17 | 0.48 |
| P2o5 | 0.718 | 0.252 | 0.197 | 0.28 | 0.295 | 0.347 | 0.342 | 0.362 | 0.45 | 1.25 | 0.351 | 0.626 | 0.597 | 0.786 | 0.272 |
| Cr | 50 | 67 | 610 | 80 | 61 | 44 | 23 | 19 | 3 | 1 | 28 | 1 | 4 | 17 | 68 |
| Ni | 14 | 19 | 153 | 51 | 39 | 41 | 29 | 28 | 1 | 2 | 29 | 35 | 1 | 18 | 37 |
| Co | 18 | 45 | 55 | 42 | 41 | 37 | 32 | 36 | 12 | 19 | 33 | 50 | 26 | 27 | 40 |
| V | 58 | 197 | 284 | 282 | 246 | 291 | 332 | 230 | 292 | 265 | 328 | 278 | 226 | 310 | 283 |
| Cu | 10 | 16 | 132 | 12 | 16 | 2 | 2 | 1 | 1 | 1 | 2 | 1 | 3 | 4 | 3 |
| Pb | 11 | 13 | 79 | 19 | 14 | 8 | 6 | 4 | 8 | 8 | 11 | 2 | 8 | 6 | 8 |
| Zn | 127 | 283 | 292 | 234 | 261 | 203 | 214 | 275 | 75 | 110 | 132 | 36 | 29 | 205 | 230 |
| S | 379 | 456 | 797 | 164 | 357 | 19 | 15 | 15 | 12 | 11 | 16 | 14 | 10 | 10 | 13 |
| Rb | 38 | 27 | 37 | 57 | 26 | 41 | 20 | 17 | 39 | 27 | 29 | 21 | 10 | 9 | 13 |
| Ba | 127 | 193 | 212 | 421 | 200 | 306 | 181 | 131 | 298 | 254 | 226 | 159 | 169 | 189 | 361 |
| Sr | 157 | 186 | 415 | 109 | 186 | 105 | 178 | 148 | 98 | 145 | 113 | 280 | 304 | 107 | 153 |
| Ga | 12 | 11 | 10 | 23 | 14 | | | | | | | | | | |
| Nb | 33 | 38 | 44 | 18 | 20 | 25 | 25 | 37 | 34 | 35 | 28 | 43 | 41 | 59 | 28 |
| Hf | 8 | 9 | 8 | 14 | 20 | | | | | | | | | | |
| Zr | 509 | 315 | 187 | 255 | 245 | 197 | 194 | 252 | 236 | 272 | 194 | 303 | 340 | 417 | 214 |
| Y | 87 | 56 | 26 | 34 | 28 | 19 | 16 | 21 | 17 | 23 | 16 | 19 | 18 | 25 | 16 |

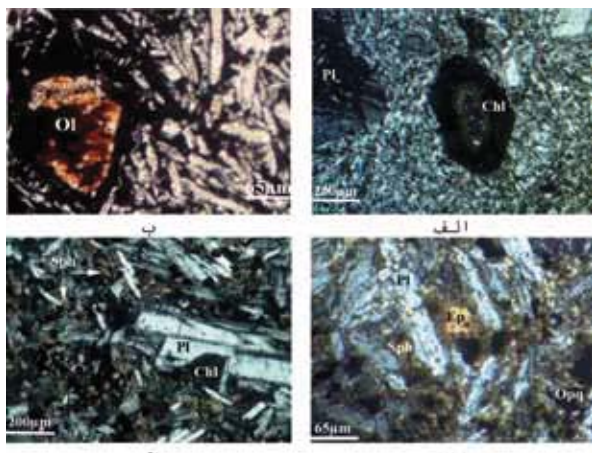
ادامه جدول-۲- نتایج تجزیه ICP-MS نمونه‌های

منطقه ایانه بر حسب ppm

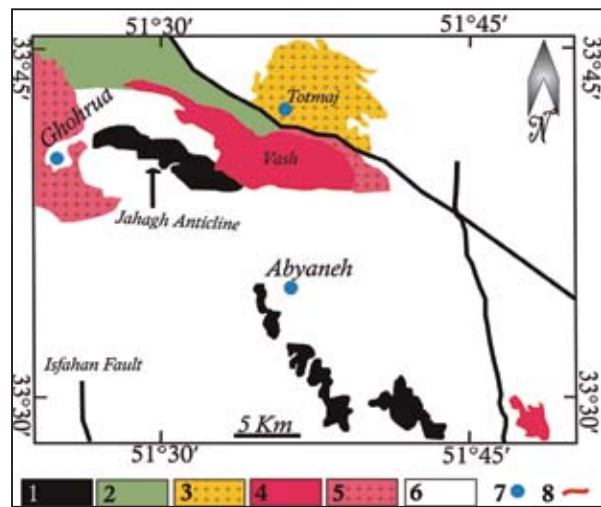
| ppm | G9 | S-Ta-2 | S-TA-25 | F8 |
|-----|------|--------|---------|------|
| Ce | 83.6 | 108 | 116 | 36.9 |
| Dy | 11.7 | 9.69 | 11.8 | 4.43 |
| Er | 4.69 | 3.37 | 4.53 | 1.49 |
| Eu | 1.97 | 3.9 | 3.63 | 1.75 |
| Gd | 12.4 | 14.4 | 17.1 | 8.19 |
| Ho | 1.77 | 1.32 | 1.69 | 0.57 |
| La | 36.8 | 51.6 | 54.2 | 15.7 |
| Lu | 0.26 | 0.26 | 0.31 | 0.1 |
| Nd | 50.7 | 62.8 | 72.7 | 27.9 |
| pr | 12.3 | 15.4 | 17.1 | 5.92 |
| Sm | 13.6 | 16.8 | 19.6 | 10.6 |
| Tb | 1.93 | 1.93 | 2.28 | 0.98 |
| Tm | 0.48 | 0.37 | 0.5 | 0.16 |
| Yb | 2.37 | 2 | 2.66 | 0.8 |



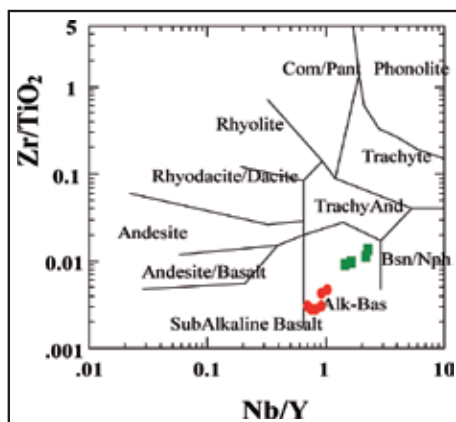
شکل-۲- تصویر پردازش شده سه بعدی داده‌های ماهواره‌ای TM منطقه مورد مطالعه به صورت RGB=741 برای تعیین ارتفاع منطقه از داده‌های ماهواره SRTM استفاده شده است. توده‌های آتششانی سیلورین در خاور قهرود و جنوب ایانه با رنگ سرخ نشان داده شده است.



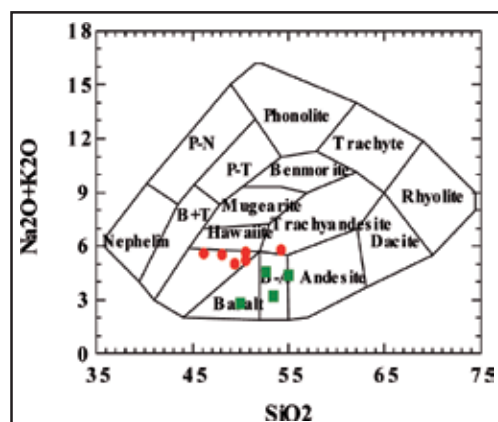
شکل ۴- تصاویر میکروسکوپی مربوط به سنگ‌های آتشفشاری سیلورین در تاقدیس جهق (جز تصویر الف که در نور PPL گرفته شده است، بقیه تصاویر مربوط به نور XPL هستند). الف و ب) کانی‌های فرمینزین که توسط کانی‌های ثانویه‌ای همچون کلریت جانشین شده‌اند، ج و د) همراهی فلدسپات با کلریت، اپیدوت، اسفن و اپاک را نشان می‌دهد.



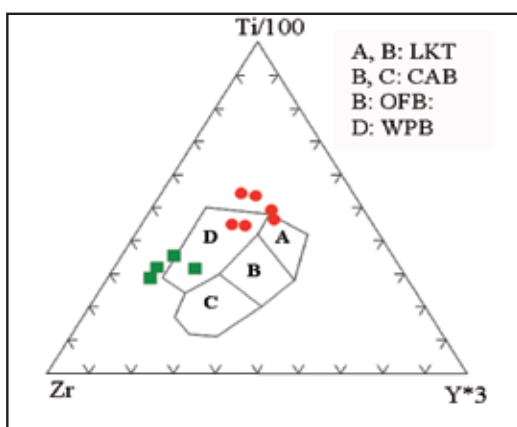
شکل ۳- نقشه پراکندگی توده‌های آذرین در منطقه ۱: سنگ‌های آتشفشاری سیلورین، ۲: سنگ‌های آتشفشاری اتوسن، ۳: آندزیت‌های اتوسن - الیگوسن، ۴: گرانوپیوریت، ۵: دیوریت میوسن، ۶: دیگر سنگ‌ها، ۷: روستا، ۸: گسل اصلی)



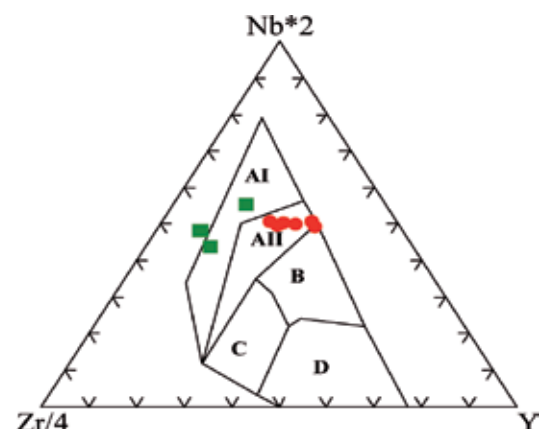
شکل ۶- طبقه‌بندی سنگ‌های آتشفشاری بر اساس عناصر فرعی (Winchester & Floyd, 1977) [علایم، مانند شکل ۵ است].



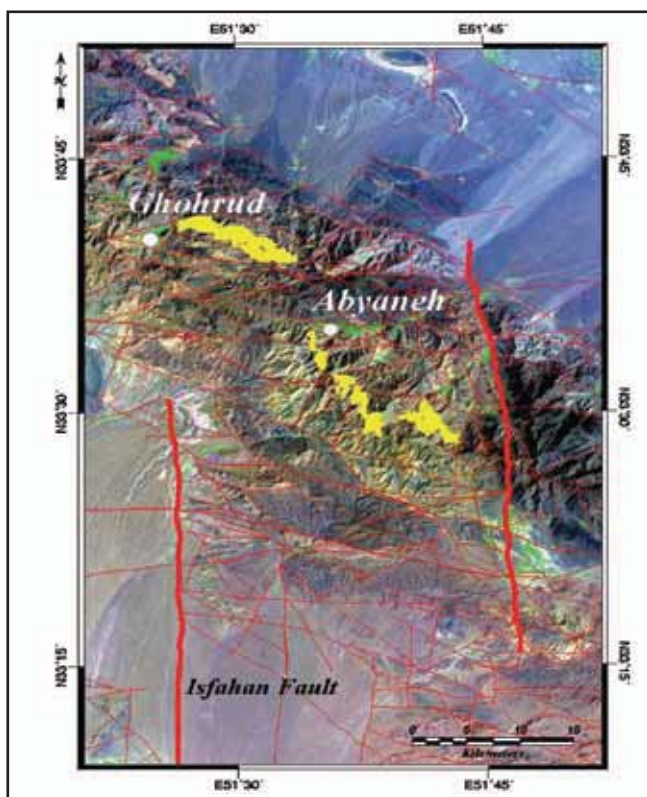
شکل ۵- طبقه‌بندی سنگ‌های آتشفشاری بر اساس عناصر اصلی (Cox et al., 1979) [علامت مریع مربوط به نمونه‌های منطقه ایانه و علامت دایره مربوط به نمونه‌های منطقه جهق است.]



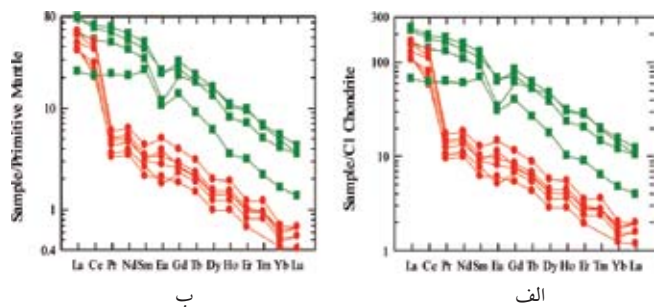
شکل ۸- نمودار متمایز کننده Ti-Zr-Y برای بازالت‌ها (Pearce & Cann, 1973) (Meschede, 1986) (Pearce & Cann, 1973). (LKT: توئیت‌هایی با پاتاسیم کم، CAB: بازالت‌های کلسیمی-قلیابی، OFB: بازالت‌های کف اقیانوسی و WPB: بازالت‌های درونصفحه‌ای، [علایم مانند شکل ۵ است]).



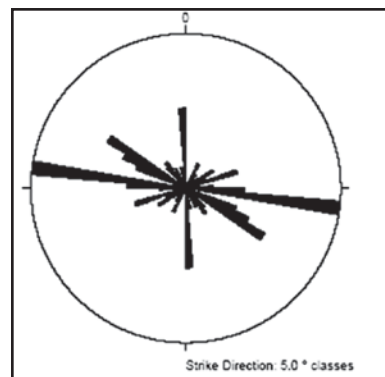
شکل ۷- موقعیت سنگ‌های مورد مطالعه بر روی نمودار Nb*2 - Zr/4 - Y (Meschede, 1986). محدوده‌ها به شرح زیر است: AI: آلکالی بازالت درونصفحه‌ای، AII: آلکالی بازالت و تولیت‌های درونصفحه‌ای، B: مورب نوع E-D: مورب نوع N, C-D: توئیت‌های درونصفحه‌ای و بازالت‌های کمان آتشفشاری، [علایم مانند شکل ۵ است].



شکل ۱۰- تصویر حاصل از پردازش داده های رقومی TM به صورت RGB=741 پس از ایجاد کشیدگی خطی ۹۹٪ بر روی هر باند. گسل های شناسایی شده در منطقه، با خطوط سرخ رنگ و رخمنون سنگ های آتشفشاری سیلورین، با رنگ زرد مشخص شده اند.



شکل ۹- نمودار عنکبوتی عناصر کمیاب سنگ های آتشفشاری که نسبت به کندریت (الف) و گوشته (ب) بهنجار شده اند.



شکل ۱۱- نمودار گل سرخی گسل های منطقه چهروند

کتابنگاری

- آینباتی، ع.، ۱۳۸۳- زمین‌شناسی ایران، سازمان زمین‌شناسی و اکتشافات معدنی کشور، ۵۸۶ صفحه.
آینی، ف.، ۱۳۸۳- مطالعه پترولولوژی و ژئوشیمی ولکانیسم پالنوزوویک زیرین (سیلورین) در دره ایانه، پایان نامه دوره کارشناسی ارشد، دانشگاه اصفهان، ۱۴۵ صفحه.
خاعتبری جعفری، م. و علائی مهابادی، س.، ۱۳۷۷- نقشه زمین‌شناسی ۱/۱۰۰۰۰۰، برگه نظر، انتشارات سازمان زمین‌شناسی و اکتشافات معدنی کشور.
درخشی، م.، ۱۳۸۵- موقعیت چینه‌شناسی، ژئوشیمی و پتروژئن سنگ های آذرین بازیک پالنوزوویک زیرین ناحیه شیرگشت، شمال غرب طبس، مجموعه مقالات دهمین همایش زمین‌شناسی دانشگاه تربیت مدرس تهران، دانشگاه صنعتی شاهروند، صفحه ۱۰۰.
صفایی، م.، ۱۳۸۴- شناسایی و بررسی توان لرزه‌ای گسل های اطراف اصفهان، گزارش پایانی طرح پژوهشی، دانشگاه اصفهان.
ناجی، آ. و قاسمی، ح.، ۱۳۸۴- پتروژئن سنگ های آذرین پالنوزوویک زیرین- میانی بخش هایی از ایران مرکزی، هشتمین همایش سالانه انجمن زمین‌شناسی ایران.

References

- Cox, K. G., Bell, J. D. & Pankhurst, R., 1979- The interpretation of igneous rocks, London, George Allen and Unwin, 450 p.
Ghasemi, A. & Talbot C. J., 2006- A new tectonic scenario for the Sanandaj-Sirjan Zone (Iran), Journal of Asian Earth Sciences, 26: 683-693.
Jenny, J., 1977a- Geologie et stratigraphie de L'Elbourz oriental, enter Aliabad et Shahrud, Iran NE. These Univ. Geneve, 238 p.
Meschede, M., 1986- A method of discriminating between different types of mid – ocean ridge basalts and continental tholeites with the Nb-Zr-Y diagram, Chemical Geology, 56: 207-218.
Pearce, J. A. & Cann, J. R., 1971- Ophiolite origin investigated by discriminant analysis using Ti, Zr and Y, Earth and Planetary Science Letters, 12: 339-349.
Pearce, J. A. & Cann, J. R., 1973- Tectonic setting of basic volcanic rocks determined using trace element analyses, Earth and Planetary Science Letters, 19: 290-300.
Safaei, H., 2009- The continuation of the Kazerun fault system across the Sanandaj-Sirjan zone (Iran), Journal of Asian Earth Sciences, 35: 391-400.
Winchester, J. A. & Floyd, P. A., 1977- Geochemical discrimination of different magma series and their differentiation products using immobile elements, Chemical geology, 20: 249-284.

Geotectonic Investigation of Early Paleozoic Magmatism in Urumieh- Dokhtar Zone (South of Kashan)

S. M. Tabatabaeimanesh^{1*}, H. Safaei¹ & A. S. Mirlohi¹

¹Department of Geology, University of Isfahan, Isfahan, Iran

Abstract

Received: 2008 October 27 Accepted: 2009 July 26

In south of Kashan, early Paleozoic volcanic rocks are a part of Ghohrud mountains. In Iran structural- sedimentary division, these volcanic rocks located in Urumieh- Dokhtar zone. These volcanic rocks are basic to semibasic and mostly involved basalt. Geochemical investigations of these rocks show the alkaline nature and the intra-continental rift geotectonic setting in their formation time. The Isfahan fault is a north-trending fault across the Sanandaj-Sirjan zone. This fault is one of the old and basement fault that was active in the early Paleozoic. The unique present of Silurian volcanic rocks in this area can refer to the activation of the north part of this fault that was created by extension phases after Caledonian orogeny.

Key words: Geotectonic, Magmatism, Silurian, Urumieh- Dokhtar, Kashan.

For Persian Version see pages 47 to 52

*Corresponding author: S. M. Tabatabaeimanesh; E-mail: tabatabaimohsen@yahoo.com

New Finds in Biostratigraphy of Ilam Formation at Kuhe Assaluyeh. (Zagros Province)

Kh. Khosrotehrani¹, D. Baghbani², F. Keshani³ & M. Omrani^{1*}

¹ Islamic Azad University (IAU), Science and Research Campus , Tehran, Iran.

²Exploration Management of N.I.O.C., Tehran, Iran.

³Geological Survey of Iran, Tehran, Iran.

Received: 2009 April 22 Accepted: 2009 September 07

Abstract

In order to study Biostratigraphy of Cenomanian – Late Campanian deposits (upper part of Sarvak Fm.,Ilam Fm. and lower part of Gurpi Fm.), kuhe Assaluyeh stratigraphic section selected. Sediments of this interval consist of limestone, argillaceous limestone and marl with thickness of 162 m. In this section Ilam Fm. in age of Santonian overlies Sarvak Fm. disconformably and is underlain by Gurpi Fm. conformably. By micropaleontological study on 55 thin sections, 5 genus and 9 species of planktonic and 16 genus and 13 species of benthic foraminifers were identified. Among distinguished foraminifers, Rotaliid family forms were studied carefully and revised. It should be mentioned that, 5 genus and 6 species of benthic foraminifers (Rotaliid forms) were recognized in Iran for the first time (in Assaluyeh section) which consist of: *Rotorbinella mesogeensis*, *Rotorbinella campaniola*, *Iberorotalia reicheli*, *Calcarinella schaubi*, *Pararotalia tuberculifera* and *Pyrenorotalia longifolia*. Santonian age was determined for Ilam Fm. by identified foraminifers. In studied section, stratigraphy development of benthic foraminifers was compared by Martinez Biozones Martinez (2007). This biozones were presented on the base of Rotaliid forms for Pyrenees area in Spain. By this comparison, four biostratigraphy zones for upper part of Sarvak and Ilam Fm. are suggested.

Key words: Ilam Formation, Biostratigraphy, Rotaliid forms, Disconformity.

For Persian Version see pages 53 to 60

* Corresponding author: M. Omrani; E- mail: m_amravani@yahoo.com